

## 태양흑점자기마당의 2차원구조에 관한 단순모형

황신철, 허건

위대한 령도자 김정일동지께서는 다음과 같이 교시하시였다.

《지구우에 존재하는 모든 생명체와 자연현상은 태양의 영향을 크게 받고있습니다. 그러므로 인간생활과 직접 잇닿아있는 태양부터 잘 연구하여 태양의 변화를 미리 예견하고 그것을 사람들에게 알려주어야 합니다.》(《김정일전집》 제3권 380페이지)

인민경제와 인간생활에 여러가지 영향을 주는 태양활동은 태양겉면과 대기에 존재하는 활동요소들의 변화, 구체적으로는 자기마당의 변화에 그 직접적근원을 두고있다. 가장 대표적인 태양활동요소인 흑점의 자기마당구조를 모형화하기 위한 많은 연구들[2, 4, 5]이 진행되였다.

우리는 흑점내부에서 자기마당의 근사적인 원기둥대칭평형상태에 대한 관측결과[1, 4]로부터 출발하여 흑점의 2차원자기마당구조를 매우 간단하게 서술하는 한가지 모형을 제기하고 일부 경우에 관하여 풀이하였으며 이 모형이 흑점자기마당구조를 원만히 설명할수 있는 보다 발전된 모형의 토대로 쓰일수 있다는것을 확증하였다.

### 1. 자기마당선의 수학적모형화

흑점내부에서 자기마당선들의 아래쪽 끝들은 광구면아래에 기본적으로 고정되어있고 힘선들의 윗부분들은 태양대기로 부채살모양으로 뻗어나간다.[1, 3, 5]

원기둥자리표계를 흑점내부에 고정시킬 때 마당선의 가장 낮은 끝부분은 직선  $r=0$ 에 관한 점근선을 이루고 힘선들의 윗부분은 직선  $z=kr$ 에 관한 점근선을 형성한다고 가정하자.

이 조건을 만족시키는 곡선의 단순한 형태는 쌍곡선이므로 마당선(그림 1)은 다음과 같은 쌍곡선에 의해 표시할수 있다.

$$z = kr - \frac{c}{r} \quad (1)$$

여기서  $k(0 \leq k \leq \infty)$ 는 흑점우의 코로나속에서 점근선들에 해당하는 직선의 방향결수이며  $c$ 는 흑점내부에서 마당선이 얼마나 빨리 수직점근선에 다가가는가를 나타내는 정의 량이다.

매개 마당선들은  $k$  값에 따라 특성이 달라진다.  $c$  값이 작을수록 해당하는 마당선은 흑점중심에 더 가까이 놓인다.

$c$ 는  $k$ 의 함수이지만 마당선들이 사귀는 경우를 피하기 위하여  $k$ 의 증가함수로는

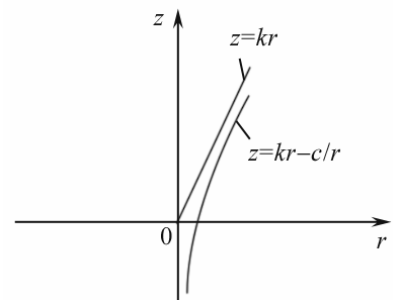


그림 1. 전형적인 마당선

되지 말아야 한다.

만일  $c$ 가  $k$ 에 무관계하다면 자기마당은 흑점의 중심에서보다 변두리에서 더 강하게 되는데 이것은 관측결과와 모순된다.

이상과 같은 조건을 만족시키는  $c$ 는 다음과 같이 표시된다.

$$c = c_0 + \frac{c_1}{k} \quad (2)$$

결국 마당선은 다음과 같이 구체화된다.

$$z = kr - \frac{c_0}{r} - \frac{c_1}{kr} \quad (3)$$

식 (3)에서  $k$ 를 구하면 다음과 같다.

$$k = \frac{c_0}{2r^2} + \frac{z}{2r} + \frac{\sqrt{(zr + c_0)^2 + 4c_1r^2}}{2r^2} \quad (4)$$

식 (4)는  $z < kr$ 의 조건에서 정의 2차뿌리만을 선택한것이다.

## 2. 자기마당을 기술하는 방정식의 작성과 풀이

2차원극자리표계에서 흑점자기마당의 꼬임성분은  $B_\theta = 0$ 이며 따라서  $B_z$ 와  $B_r$ 를 각각 유도하면 자기마당분포가 얻어진다.

$r$ 와  $z$ 방향에서 두 마당성분들의 상대적세기는 다음과 같다.

$$\frac{B_z}{B_r} = \frac{dz}{dr} = k + \frac{c}{r^2} \quad (5)$$

$B_r$ 는 자기흐름함수  $f(r, z)$ 에 의해 직접 주어지며  $B_z$ 는 식 (5)로부터 다음과 같다.

$$B_z = \left( k + \frac{c}{r^2} \right) f(r, z) = \left( \frac{z}{2r} + \frac{3c_0}{2r^2} + \frac{\sqrt{(rz + c_0)^2 + 4c_1r^2}}{2r^2} + \chi \right) f(r, z) \quad (6)$$

여기서  $\chi$ 는

$$\chi = \frac{2c_1r}{[rz + c_0 + \sqrt{(rz + c_0)^2 + 4c_1r^2}]^2}. \quad (7)$$

$\nabla B = 0$ 이라고 가정함으로써 함수  $f(r, z)$ 에 대한 조건은 다음과 같이 표시된다.

$$\begin{aligned} f_r + \left[ \frac{z}{2r} + \frac{3c_0}{2r^2} + \frac{2c_1}{[rz + c_0 + \sqrt{(rz + c_0)^2 + 4c_1r^2}]^2} + \frac{\sqrt{(rz + c_0)^2 + 4c_1r^2}}{2r^2} \right] f_z = \\ = - \left[ \frac{3}{2r} - \chi + \frac{(rz + c_0)}{\sqrt{(rz + c_0)^2 + 4c_1r^2}} \left( \frac{1}{2r} + \chi \right) \right] f(r, z) \end{aligned} \quad (8)$$

여기서  $f_r$ 와  $f_z$ 는 각각  $r$ 와  $z$ 에 관한  $f(r, z)$ 의 도함수들이다.

흑점중심으로부터 각이한 거리들에서 또는 각이한 수직높이들에서의 상대적마당세기는  $c_0$ 과  $c_1$ 의 특수값들에 의존한다.

그러나 식 (8)을 풀기 위한 가장 단순한 경우는  $c_1 = 0$ 인 경우이며 이때 자기마당은

흑점중심에서보다 변두리에서 더 강하다.

이 경우에 식 (8)은 다음과 같이 간소화된다.

$$f_r + \left( \frac{z}{r} + \frac{2c_0}{r^2} \right) f_z = -2 \frac{f(r, z)}{r} \quad (9)$$

식 (9)는 미정함수  $g(x)$ 를 도입할 때 다음과 같은 꼴을 가진다.

$$f(r, z) = \frac{1}{r^2} g \left[ \frac{r}{z/c_0 + 1/r} \right] \quad (10)$$

식 (9)의 풀이의 한가지 특수형태는 다음과 같다.

$$f(r, 0) = \frac{r^{2n}}{1+r^{2n+2}} \quad (n \geq 1) \quad (11)$$

즉  $r$ 가 보다 클 때 마당세기는  $r^2$ 에 관해 감소하며  $r$ 가 령일 때 마당세기와 그 공간도함수들은 둘 다 령이다.

이 경우에 함수  $g(x)$ 는 다음과 같이 주어진다.

$$g(x) = \frac{1}{1+x^{-n-1}} \quad (12)$$

식 (12)에 자연수  $n$ 의 값을 차례로 넣으면 식 (9), (10)으로부터 자기마당선들이 분포된다.

실례로  $n=1$ 일 때  $\left( \frac{r}{z/c_0 + 1/r} \right) = \frac{r^2}{r^2 + (z/c_0 + 1/r)^2}$  이므로

$$f_1(r, z) = \frac{1}{r^2 + (z/c_0 + 1/r)^2}.$$

따라서 자기마당  $(B_r, B_\theta, B_z)$ 는 다음과 같이 표시된다.

$$\left( \frac{1}{r^2 + (z/c_0 + 1/r)^2}, 0, \frac{z/r + 2c_0/r^2}{r^2 + (z/c_0 + 1/r)^2} \right) \quad (13)$$

$n=2$ 일 때 자기마당은

$$\left( \frac{1}{r^2 + (1/r)(z/c_0 + 1/r)^3}, 0, \frac{z/r + 2c_0/r^2}{r^2 + (1/r)(z/c_0 + 1/r)^3} \right). \quad (14)$$

이와 같은 방법으로 얻어지는 자기마당분포는 그림 2와 같다.

흑점중심으로부터 먼 곳에서 특히 흑점변두리에서 자기마당구조는 흑점광구면에 대한 자기마당선들의 경사각을 측정한 관측결과[3]와 잘 일치한다.

이 단순한 자기마당모형을 리용하여 자기류체정력학적평형방정식을 풀이함으로써 흑점대기에서의 기체압력을 계산할수 있다.

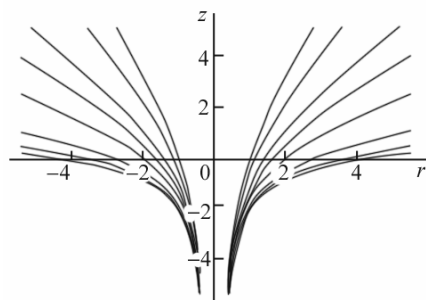


그림 2. 자기마당분포

## 맺 는 말

원기둥대칭평형상태에 있는 흑점의 2차원자기마당구조를 간단히 서술하는 한가지 모형을 제기하였다.

$c_1 \neq 0$  인 경우에 대한 제기된 모형의 풀이는 흑점중심에 실제로 존재하는 매우 강한 자기마당을 설명할수 있게 할것이다.

## 참 고 문 헌

- [1] M. Solanki et al.; Astron. Astrophysics, **234**, 519, 2006.
- [2] J. O. Stenflo; Solar Phys., **138**, 4, 41, 2003.
- [3] D. Steele et al.; Solar Phys., **145**, 1, 197, 2010.
- [4] B. C. Low; Astrophys. J., **212**, 234, 1998.
- [5] S. Chandra et al.; Solar Phys., **146**, 7, 201, 2011.

주체105(2016)년 11월 5일 원고접수

## **A Simple Model about the 2D Structure of Magnetic Field in Sunspot**

*Hwang Sin Chol, Ho Gon*

We suggested a model that simply described the 2D structure of magnetic field in sunspot at state of cylindrical symmetric equilibrium.

Key words: sunspot, magnetic field